, педиатрия 3//2023

Daminova Sh.B., Maxumova S.S., Maxsumoval.Sh., Alimova N.U.

CHANGES IN THE BIOPHYSICAL CHARACTERISTICS OF ORAL FLUID IN CHILDRENWITH TYPE 1 DIABETES

Key words: diabetes mellitus, mouth fluid, composition, viscosity, speed of salivation

The article found that studies have identified biophysical aspects of oral fluid for children with type 1 diabetes, including changes in the rate of salivation rate, salivation volume, viscosity and pH. A significant increase in glucose levels disrupts the mineralization potential of solid tissues and mineralization processes, accelerates demineralization processes, increases the

and leads to a violation of the balance of enzyme systems. In the later stages of endocrinopathy, a significant change in the pH level of oral fluid to acidosis indicates a weakening of buffer systems, a lack of functional capabilities and protective mechanisms of speech, and a disbalance in gomeostatic reactions in the oral cavity.

Абилов П.М., Ирискулов Б.У., Бобоева З.Н., Махкамова Ф.Т.

АДАПТИВНЫЕ MEXAHU3MЫ И КОРРЕКЦИЯ КОРОНОВИРУСНОЙ ИНФЕКЦИИ ВЫЗВАННОЙ COVID-19 IN-VITRO

Ташкентская медицинская академия; Ташкентский педиатрический медицинский институт

Цель исследования. Провести сравнительное проспективное рандомизированное исследование лечения коронавирусной инфекции SARSCoV-2 новым препаратом на основе G. Lucidumu Алхадая.

Материалы и методы. Для осущесвтления поставленной цели были проанализированы результаты лечения 200 половозрелых крыс обоего пола. 160 крыс заражали коронавирусной инфекции. Содержание животных, оперативные вмешательства и вывод из эксперимента осуществляли на основе этических принципов, декларированной Европейской конвенцией по защите позвоночных животных, используемых для экспериментальных и других целей.

Результаты. После заражения крыс коронавирусной инфекцией COVID-19 проводили рутинное исследование крови 200 крыс на наличие вируса SARSCoV-2 взятием соскоба с ротоглотки и бронхоалвьеолярным лаважем.

Пандемия коронавирусной инфекции (COVID-19), вызванная тяжелым острым респираторным синдромом, вызванная коронарусом - 2 (SARS-CoV-2) вызвала почти 270 млн подтвержденных случаев и более 5,2 млн случаев смерти в всем мире. Только на 13-19 декабря 2021 г. выявлено 4,1 млн случаев и чуть менее 45000 новых смертей [4].

На сегодняшний день возбудителем коронавирусной инфекции COVID-19 является SARS-CoV-2 с однонитевой РНК. На основе накопленных исследований по изучению патогенеза коронавируса были выявлены несколько молекулярных мишеней, такие как 3- химотрипсин подобная цистеиновая протеаза (3 CLpro), папаин подобная протеаза (PLpro), и РНК зависимая РНК полимераза (RDRP) [2].

Развитие COVID-19 связано с острым воспалением и иммунным ответом, который может вызвать гипервоспалительным синдромом, называемым «цитокиновым штормом» [7].

Патогенетический механизм возникновения «цитокинового шторма» обусловлен чрезмерным высвобождением провоспалительных цитокинов, таких как IL-1, IL-6, TNF-a.activity of microbial flora in the oral cavity,

В исследовании AngelicaJaykBernaletal. (2021) был исследован молнупиравир, который представляет собой низкомолекулярное рибонуклеозидноепролекарство гидроксицитидина (NHC), которое обладает активностью против SARS-CoV-2 и других РНКвирусов и является высоким барьером для развития резистентности. После перорального приема молнупиравира NHC циркулирует системно и фосфорилируетсявнутриклеточно до трифосфата NHC [9]. NHC-трифосфат включается в вирусную РНК вирусной РНК-полимеразой и впоследствии неверно направляет вирусную полимеразу, чтобы включить гуанозин или аденозин во время репликации вируса. Это приводит к накоплению вредоносных ошибок по всему вирусному геному, конечном итоге делает неинфекционным и неспособным к репликации. Однако более длительное применение данного препарата может вызвать заболевания печени и к тому же анализ нуклеокапсидных антител SARS-CoV-2 не определяет присутствие созданных вакциной нейтрализующих антител к спайковому белку (S) SARSCoV-2 [1].

Согласно исследованию JiaWeetal. (2021) сероконверсия к вирусным спайк-антигенам и

течение 1-3 нед после заражения SARS-CoV-2, а

пиковые уровни антител достигают 4-5 нед то ПЦР позитивными был каждый 2 больной (95% ДИ - 1,5-5,6) [5,6].

Моноклональные антитела такие бамланивимаб-этесевимаб-казиривимабимдевимаб и сотровимаб в настоящее время разрешены для лечения больных с SARS-CoV-2, однако применение таких препаратов эффективно в начальной стадии коронавирусной инфекции и к тому серьезные побочные эффекты со стороны печени является недостатком такого рода лечения

В настоящее время все большее внимание уделяется природным источникам биологически активных веществ в лечении коронавирусной инфекции. Так, к примеруБайкалин, предложенный для лечения SARS-CoV-2 (ChingjuLinetal, 2021), выделенного из растения Scutellariabaicalensis обладает

противовспалительным, антиоксидантным противовирусным действием. Снижение под действием байкалина окислительного стресса может снизить патогенетическое влияние «цитокинового шторма» и соответственно снижает риск осложнений COVID-19 [8].

Также все большее внимание уделяется другому натуральному продукту, известному грибу G. Lucidum. Состав данного натурального продукта очень широк, включая супероксиддисмутазу, которая также снижает патогенетическое влияние «цитокинового

шторма» не оказывая на печень побочных эффектов [10].

Также в последнее время все большее внимание уделяется еще одному натуральному продукту Алхадая, который представляет собой масло черного тмина. Я заметил, что и G. Lucidumи Алхадая в своем составе содержат карбоксильные группы, причем они не являются продолжением нитрогрупп и сульфгидрильных групп. Эти карбоксильные группы отходят от фенольных колец G. Lucidumu бензольных колец Алхадая и была предложена идея создания нового препарата на основе G. Lucidumu Алхадая, и учитывая столь значение не только в лечении коронаврусной инфекции, но ив безопасном его применении, то данное исследование считается актуальной темой и требует его дальнейшего изучения.

Цель работы - провести сравнительное проспективное рандомизированное исследование лечения коронавирусной инфекции SARSCoV-2 новым препаратом на основе G. Lucidumи Алхадая.

Материалы и методы

Для осущесвтления поставленной цели 117 были проанализированы результаты лечения 200

половозрелых крыс обоего пола. 160 крыс заражали коронавирусной инфекции. Содержание животных, оперативные вмешательства и вывод из эксперимента осуществляли на основе этических лекларированной принципов, Европейской конвенцией по защите позвоночных животных, используемых для экспериментальных и других целей. Животные содержались в виварии при свободном доступе к пище и воде и естественной смене дня и ночи. Эксперименты проводились в условиях спонтанного дыхания и температуры окружающей среды 24-25°C. Изоляцию вируса проводили на культуре клеток vitrorn вируссодержащего образца клинического материала (мазок из носоглотки). Эффективность репликации вируса SARS-Cov-2 на культуре клеток ПО динамике оценивали появления цитопатического действия и наличию вирусной РНК при анализе культуральной жидкости методом полимеразной цепной реакции - ПЦР.

Крысы были интраназально заражены штаммом SARS-Cov-2 50% средней инфекционной дозы тканевой культуры (TCID 50) на 50 мкл инокулята (биопрепарат с живыми культурами) внутрибрюшинной после анестезии использованием 2,5% раствора тиопентала натрия.

Все животные были разделены на 5 групп.

I группа - абсолютно здоровые крысы (n=40).

II группа - крысы, зараженные коронавирусной инфекцией, леченные ремдесевиром (n=40).

III группа - крысы, зараженные коронавирусной инфекцией, леченные молнупиравиром (n=40)

IV группа крысы, зараженные коронавирусной инфекцией, леченные байкалином (n=40)

группа зараженные крысы, коронавирусной инфекцией, леченные новым препаратом на основе G. Lucidumи Алхадая (n=40).

Ремдесевир-традиционный препарат, применяли в дозировке 20 мг/кг массы тела

Молнупиравир как известно представляет собой экспериментальную пероральную форму мощного аналога рибонуклеозида, который ингибирует репликацию SARS-CoV-2 возбудителя COVID-19. В данном исследовании Молнупиравир применяли в дозе 25 мг/кг массы тела.

получали Байкалин ИЗ шлемника байкальского с размером частиц 0,1-0,5 мм. Используемый метод экстракции - простая

заданного промежутка времени, при соотношении сырье: экстрагент 1:10 м/о и температуре 24±1°СБайкалин содержит бета-глюкуронидазу, активный фермент содержащегося в клетках корня шлемника байкальского, который при смачивании сырья экстрагентом, содержащего воду начинает активно гидролизоватьбайкалин до его агликона (байкалеина) и глюкуроновой кислоты. Байкалин стимулирующее оказывает влияние глутатионовое звено NADPH - GSH- зависимой AOC: повышает содержание глутатиона восстановленного в печени у здоровых животных и активности глутатионсинтетазы и глюкозо-6фосфодегидрогеназы в печени и почках в условиях развития окислительного стресса при действии различных токсикантов. Байкалин вводили крысам внутрибрющинно в дозе15 мг/кг массы тела.

Новый препарат на основе G. Lucidum и Алхадаявводили внутрибрющинно в дозе 100 мг/кг массы тела.

Реакцию амплификации и анализ продуктов ПЦР осуществляли в режиме

реального времени на амплификаторе «Rotor-Gene 6000» («CorbettResearch», Австралия). В состав реакционных смесей входили комплементарные специфическому фрагменту олигонуклеотидныепрямые и обратные праймеры, флуоресцентные зонды, меченые флуорофором FAM (карбоксифлуоресцеин) и гасителем флуоресценции (RTQ1), дезоксирибонуклеозид три

фосфаты (дНТФ), MgCl 2, буфер, фермент Таqполимераза и деионизированная стерильная вода. Для отрицательного контроля в пробирку вместо образца вносили такой же объем дистиллированной воды.

Положительные пробы определяли по наличию фазы логарифмического

роста кривой флуоресценции. Регистрацию результатов в режиме реального времени (значение порогового цикла, Ct) проводили в табличной и графической форме с помощью компьютерных программ.

Статистическую обработку проводили с учетом параметрических и непараметрических методов исследования.

Результаты и обсуждение

После заражения крыс коронавирусной инфекцией COVID-19 проводили рутинное исследование крови 200 крыс на наличие вируса SARSCoV-2 взятием соскоба с ротоглотки и бронхоалвьеолярным лаважем. Для выявления коронавирусной инфекции использовали 500 копий/мл образца. В таблице 1 до лечения показаны результаты ПЦР теста после заражения коронавирусной инфекцией.

Результаты ПЦР теста до лечения

Таблица 1

Результат	Количество
Истинно-положительный	180
Ложно-положительный	10
Истинно -отрицательный	5
Ложно-отринательный	5

Проявления COVID-19

В таблице 2 указаны проявления COVID-19

Таблица 2

				т аолиц
Проявление	Общее (n=200)	SARSCoV-2 B	ПЦР	p
		крови, ПЦР	отрицательный	
		положительный		
Критический	40	40	0	
Тяжелая форма	45	45	0	
	57	55	2	<0,05
Средне-тяжелая форма				
Легкая форма	38	30	8	<0,05

В таблице 3 указана вирусная нагрузка коронавирусной инфекцией COVID-19



Показатели вирусной нагрузки до лечения

Органы-мишени	Общее	ПЦР положительный	ПЦР	p
			отрицательный	
Респираторный отдел	3680 (595-166,800)	9,404,000 (586,060 10,000,000	1560 (312 25,160)	<0,001
Кровеносная система	0	694 (209-1023)	0	

При исследовании полученного материала использовался критерий Краскеса-Уоллиса (рис. 1).

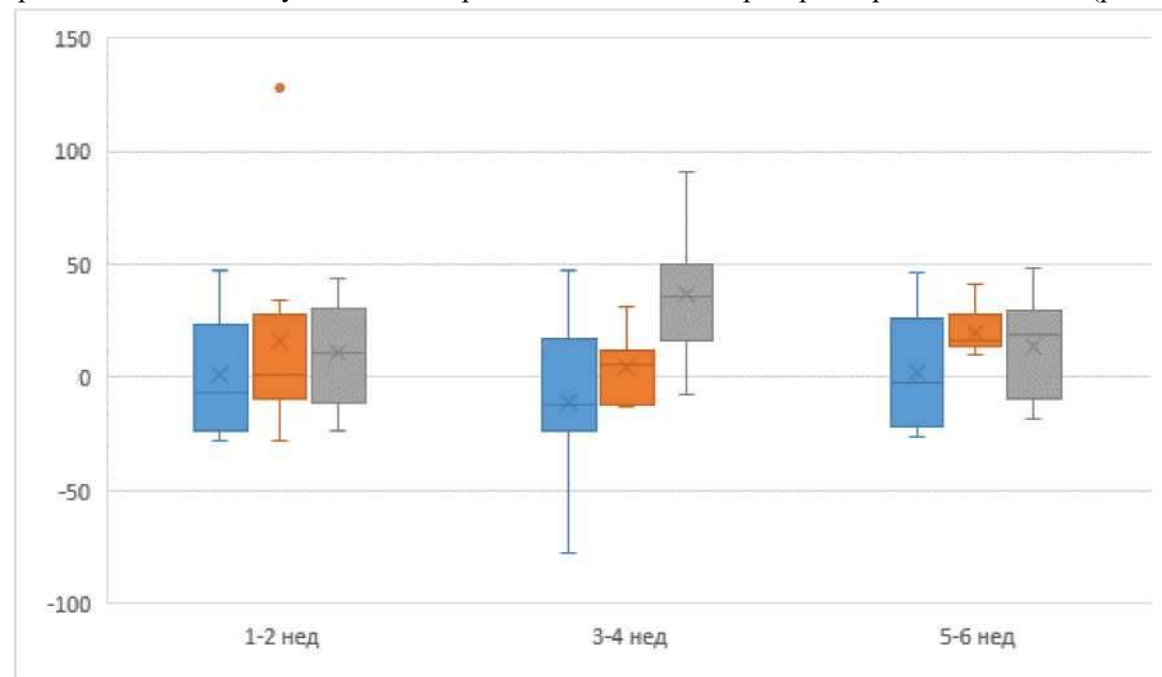


Рис. 1. Изменения в дыхательной и кровеносной системах при воздействии коронавирусной инфекции и их патогенетическая связь (критерий Краскеса-Уоллиса).

В рис. 1 показано распределение нагрузки SARSCoV-2 в зависимости от образца (респираторная или кровеносная система) и времени изменения в крови.

Также из рис. 1 показано, что более 90% образцов имели положительный результат на общую PHK SARSCoV-2 свирусной нагрузкой от

1,6x10 до 1,3x10⁴ копий PHK SARSCoV-2

В табл. 3. Показаны результаты обнаружения клинических образцов с помощью обратной транскриптазы - ПЦР.

Таблица 3 Результаты обнаружения клинических образцов с помощью обратной транскриптазы (ПЦР)

Образцы и значения	Бронхоальвеолярный лаваж	Мазки из носа	Кровеносная система
ПЦР положительный	180 (90%)	170 (85%)	148 74%)
Порог цикла (среднее значение)	131.3 (30.0)	132.4 (42.0)	134.6 (47.6)
Диапазон	126.4-136.2	169.8-185.4	134.1-135.4
95% ДИ	28.9-33.2	29.3-33.0	0.0-36.4

Посвящается к 100-летию со дня рождения профессора Карима Сулеймановича Сулейманова

ПЕДИАТРИЯ 3/2023

Так, 95% ДИ (доверительный интервал) в III, IV и Vгруппах находится между 2,4-4,0, что указывает на точную оценку при p<0,05. ОШ (отношение шансов) составляла 0,9523107 между применением нового препарата на основе Ганодермы Луцидум и Алхадая и выраженностью патологического процесса в легких, X2 (критерий Вилконсона) составляет 0,93280714, U (критерий Манна-Уини) составляет 0,94135082 при p<0,05

У животных Пгруппы после применения ремдесевира происходило частичное улучшение биохимических параметров. Так как АЛТ и АСТ оставались высокими, то наблюдались гепатомегалия и спленомегалия.

Данный вирус, как известно, заражает человечество воздушно-капельным путем минимального количества достаточно заражения. Попадая через дыхательную систему в кровоток этот вирус встречает на своем пути огромное количество ступеней иммунной защиты, но этот вирус научился уклоняться от них. Итак, данный вирус попалая В организм нашей обнаруживается системой гетерогенной вариабельности вируса, большого количества антииммунных механизмов чрезвычайно низким количеством титра антител (IG G/Ig M) вырабатываемых нашим организмом. А все потому, что HLA антигены нашего организма не могут распознать этот антиген из-за того, что Tollкіке рецепторы макрофагов не содержат должного количества N-галактозамина необходимого для распознавания данного вируса. Кроме того, 7-трансмембранные G-белок связанные рецепторы, активирующие альтернативный путь активации макрофагов через систему комплемента также не могут распознать данный вирус и-за генетической перестройки данного вируса [1]. Кроме того, Toll-like рецепторы, присутствующие на поверхности практически всех иммунных клетках не распознают этот вирус как антигенный из-за рецепторов, содержащихся в гликопептидной оболочки данного вируса, которые как только узнают антигены организма-хозяина сразу же экспрессироватьполипептиды, начинают равнозначные аминокислотным последовательностям нашего организма [2]. Кроме того, вирусная капсидная оболочка обладает очень мощным защитным механизмом. Так, рецепторы в данной оболочке мгновенно реагируют на антитела, выделяемые В-клетками нейтрализируют эти антитела и не образуется самого комплекса антиген-антитело, который не в дальнейшем не представляется макрофагам и не презентируетсяантителопродуцирующим клеткам. данный вирус способен размножаться из-за неконтролируемыми темпами роста. Так, у данного организма отсутствует лимит Хейфлика, который как известно, помогает многим злокачественным опухолям бесконтрольно размножаться. Toll-lke рецепторы как уже было сказано, не способны определить данный вирус как патогенный с высокой вирулентностью и также данные рецепторы по принципу обратной связи лигандактивирумыйубиктивинпротеасомный путь не способны актвировать сигнальный путь WNT/p-катенин, являющим основным сигнальным путем для репарации клеток. 7-трансмембранные G-белок связанные рецепторы способны также не должным активизироваться и таким образом не ТН1- и ТН2клетки не активизируются и конечно не происходит роллинговых связей лейкоцитов, так как Syalil-Lewis X-гликопротеин не активизируется через кофакторы и лиганды [3]. Также даже если небольшое число лейкоцитов активизировать и мигрировало через кровеносные сосуды, то этого количества явно не хватает для киллинга данного вируса. Цитокины, такие как суперсемейство TNF и Ig, интерлейкины (IL-1, IL- бр, IL-10) известные как противовоспалительные цитокины также не обладают должным киллинговыми свойствами изза недостаточной активации этих веществ, которые по принципу обратной связи также не активируют дальнейшее представление антигена антигенпрезентирующих клетках. МНС - клетки 1 и II типа также не способны активизироваться самостоятельно так как отсутствует сигнал, получаемый ЭТИМИ клетками через взаимодействия лигандопосредованные дендритных клеток и макрофагов [4-7]. Дальнейшее активирование макрофагов через альтернативный и лектиновый пути не приводит к стабилизации процесса и активные формы кислорода (АФК) и свободные радикалы, такие как хлор и азот не сильнейших образуют веществ антидетоксикантными свойствами, такими как

ПЕДИАТРИЯ

пациентов из-за повышения выхода Na+ из клетки вместе с хлором и водой. Жидкость накапливается в межуточном пространстве и может грозить тяжелыми осложнениями, такими как анасарка и др. Также Cl-, входящий в состав многих препаратов, применяемых лечения обладает коронавируса COVID-19 неконтролируемым бактерицидном эффекте и может в при тяжелых состояниях приносить вред. Также за действенная система Na+ - K+ насоса задействует большое количество АТФ поступления К+ в клетку. ГанодермаЛуцидум может активизировать выработку АТФ митохондриях посредством энергозависимых каналов, по которым часть аденозина переносится в сами органеллы при помощи белков- переносчиков. ГанодермаЛуцидум активизирует переносчики Zn зависимых каналов, по которым цинк переносится в митохондрии, посредством которого и образуется АТФ [8-10]. Далее ГанодермаЛуцидум задействует ферменты, участвующие в синтезе витамина А (ретинола) посредством влияния ее на лиганды рецепторов ретиноевой кислоты (RAR) вызывая дифференцировку т.е. провитамин синтезируется в витамин. Так, рецепторы RAR усиленные под действием Ганодермы Луцидум приводят к инактивации вируса. Так как витамин А является жирорастворимым витамином и для формирования необходим Р-каротин то Алхадая или масло черного тмина является большим источником холестерина и полиненасыщенных жирных кислот, которые преобразуются в организме сначала в ЛПНП (липопротеины низкой плотности), которые затем преобразуются в ЛПВП (липопротеины высокой плотности). ГанодермаЛуцидум влияет на количество и состав матриксных металлопротеиназ, в частности (ММП-3 и ММП-9), образующихся в больших количествах при данном типе вируса [1,3].Так, ГанодермаЛуцидум активизирует тканевой ингибитор матриксных металлопротеиназ

(TIMMP), посредством влияния трансформирующий фактор роста Р (TGF-P) через активацию тучных клеток и макрофагов. Как известно, матриксные металлопротеиназы имеют на своей поверхности Zn-связанный домен, и разрушающие компоненты ВКМ (внутриклеточного матрикса). Так как воздействии данного вируса не образуются проколлагеназы, и поэтому не происходит его активация свободными радикалами дальнейшего превращения в коллаген. Также ГанодермаЛуцидум влияет мембранносвязанныеметаллопротеиназы **ADAM** контролирующие посредством тканевых матриксных металлопротеиназ ингибиторов нежелательные эффекты этих протеаз. Так как дефицит ADAM приводит непосредственно к гипоплазии легких, то конечно влияние Ганодермы Луцидум и усиление его функции приводит к не сращению альвеол и образованию соединительной ткани, которую так сильно контролирует вирус. Также в результате перегруппировки генов и повышение экспрессии данного задействуются рецепторы тирозинкиназного типа. Также получается, что организм стимулирует выработку еще большого количества неспособности данного вируса из-за парафолликулярных С-клеток щитовидной железы поддерживать на балансе данные рецепторы. Происходит как бы постоянная демиризация и рецептора активация его В изначально неправильной химической формуле, локализующимся В цитоплазматическом каталитическом таким образом домене, И нарушается субстратная специфичность тирозинкиназы.

Таким образом, применение нового препарата на основе G. Lucidum и Алхадая эффективно против коронавирусной инфекции, вызванной COVID-19 и не имеет побочных эффектов, что доказано проведенным исследованием.

Литература

- 1. An experimental assessment of the influence of Ganoderma Lucidum on the state of oxidative stress. Iriskulov B.U., Saydalikhodjaeva O.Z., Abilov P.M., Seytkarimova G.S., Norboeva S.A., MusaevKh.A. International journal of scientific & technology research, Volume 9, Issue 03, March 2020: 6645-6649.
- 2. Aromatic constituents from Ganodermalucidum and their neuroprotective and antiinflammatory activities. Shuang-Yang Li et at. Fitoterapia. 2019;01:13.
- 3. Bioactive metabolites of GanodermaLucidum: Factors, mechanism and broad spectrum therapeutic potential. Chetan Sharma et at. Journal of Herbal Medicine. 2019;10:2.
- 4. Characterization, hypolipidemic and antioxidant activities of degraded polysaccharides from Ganoderma Lucidum. International Journal of Biological Macromolecules. 2019;5:166.

мЬ ПЕДИАТРИЯ



- 5. Clinical and functional evaluation of the effectiveness of treatment of chronic catarrhal gingivitis in children with the use of biologically active additives based on Ganoderma Lucidum. Abilov P.M., Makhkamova F.T. Pediatric, Scientific and practical journal. 2018;1:108-111.
- 6. Comparison on characterization and antioxidant activity of polysaccharides from Ganodermalucidum by ultrasound and conventional extraction. Qiaozhen Kang et at. International Journal of Biological Macromolecules. 2018;11:215.
- 7. Dayaolingzhiols A-E, AchE inhibitory meroterpenoids from Ganodermalucidum. Qi Luo et at. Tetrahedron. 2019;04:22.
- 8. Development of Ganodermalucidum spore powder based proteoglycan and its application in hyperglycemic, antitumor and antioxidant function. Li-Fang Zhu et at. Process Biochemistry. 2019;5:25.
- 9. DNA damaging potential of Ganodermalucidum extracts. Maria Soledad Vela Gurovic et at. Journal of Ethnopharmacology. 2018;2:5.
- 10. Effeciency of individual prophylaxis of dental caries using dental gel Ispring based on GanodermaLucidum in schoolchildren in Tashkent. Abilov P.M. Journal Dental and Oral Health. 2018;5: 1-4.
- 11. Ahmedova, Dildora, and G. Kézdi. "The Impact of Population Ageing on Private Savings Rate: Empirical Evidence from the OCDE Members Countries." Submitted to the Central European University Department of Economics. Budapest. Hungary (2011).
- 12. Ахмедова, Дилором Ильхамовна, Т. О. Даминов, and Ш. А. Агзамова. "Клиникодиагностические особенности основных синдромов у детей при внутриутробном инфицировании ТОКСН." Детские инфекции 8.1 (2009): 29-31.
- 13. Akcura, F., D. Ahmedova, and P. Menlikulov. "Health For All: A Key Goal for Uzbekistan in the New Millennium." Tashkent: United Nations Development Programme (2006).